

## 5 - 1 5 沼津における長基線地電位観測 (1985年8月~1995年11月)

### On the Observation of Geoelectric Field with a Long Electrode Span (August, 1985-November, 1995)

気象研究所

地磁気観測所

Meteorological Research Institute

Kakioka Magnetic Observatory

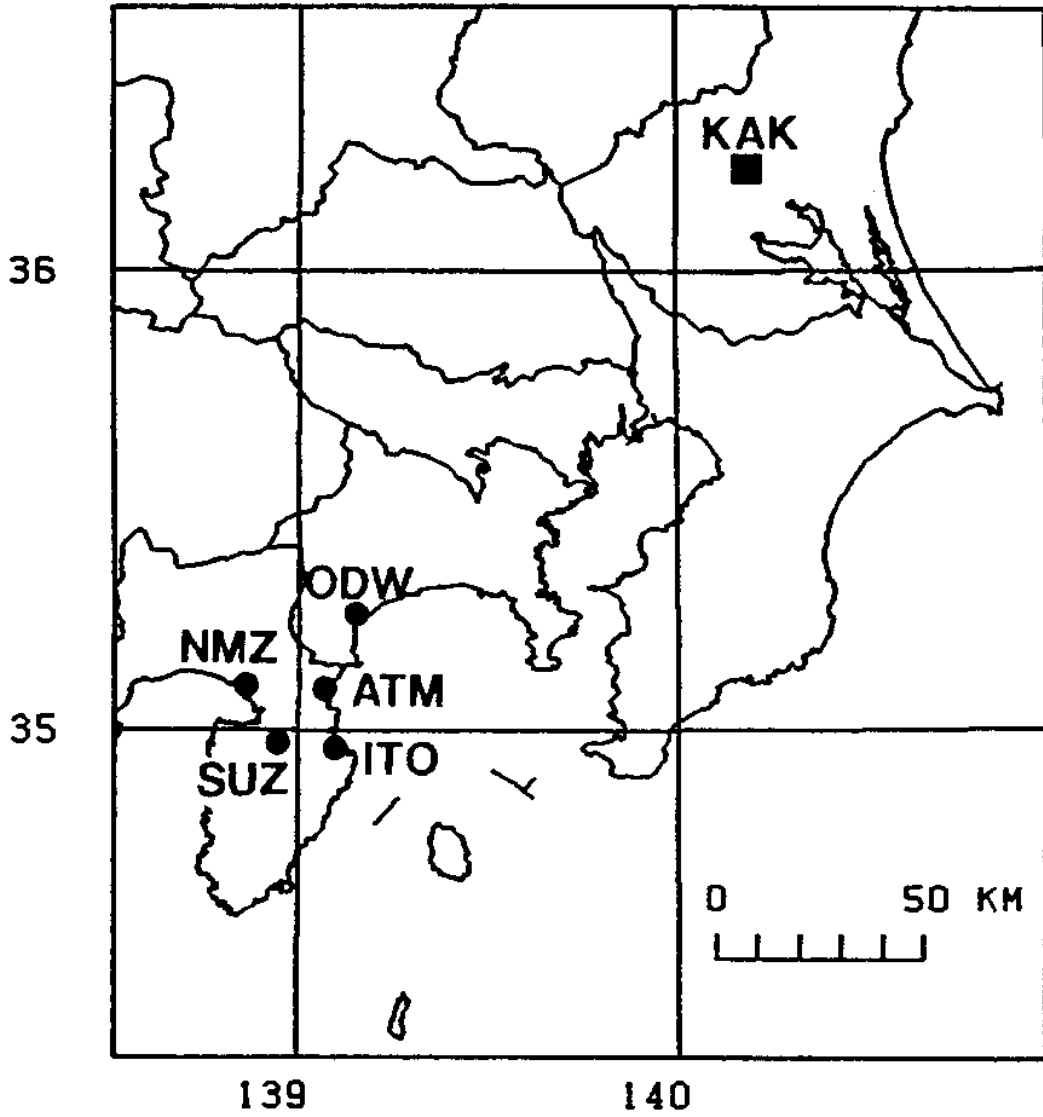
NTTの協力により、基線長 15~45kmの地電位観測を行っている。沼津 (NMZ) を基準にして、第 1 図の実線で結んだ電話局間の電位差を測定している。従って、地点相互間の電位変化を計算できる。

第 2 図は 1994 年 1 月から 1995 年 11 月までの地電位、柿岡地磁気観測所の地磁気の日平均値、三島の日降水量を示す。また、観測網付近の主な地震・火山活動も記入した。1994 年 8 月にほぼ全ての測線にステップ状の変化がみられる。1995 年 4 月頃には元のレベルに回復した。現在のところ原因は不明である。第 3 図は 1985 年の観測開始以来の日平均値の変化である。前回までに報告した<sup>1), 2)</sup> 以外には、特別な変化はみられない。

#### 参 考 文 献

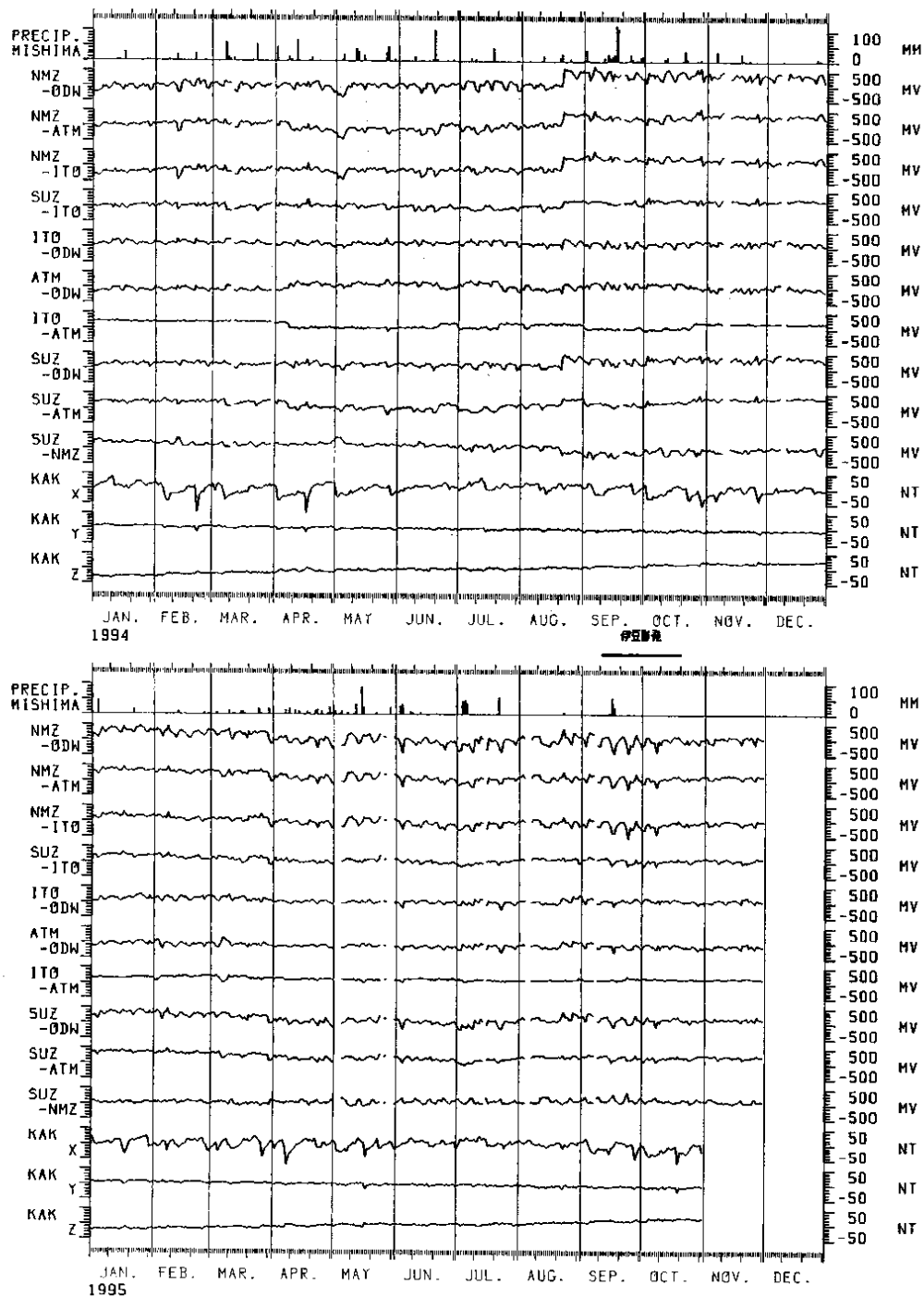
1) 気象研究所：長基線地電位について，連絡会報，36 (1986)，382-384 .

2) 気象研究所：長基線地電位について，連絡会報，37 (1987)，372-377 .



第 1 図 NTT 地電位観測網と柿岡地磁気観測所 (KAK)

Fig. 1 Observation network for geoelectric field and Kakioka magnetic observatory (KAK).



第 2 図 地電位・地磁気の日平均値の変動と日降水量（1994 年 1 月～1995 年 11 月）

PRECIP. MISHIMA : 三島日降水量

NMZ-ODW ~ SUZ-NMZ : 地電位

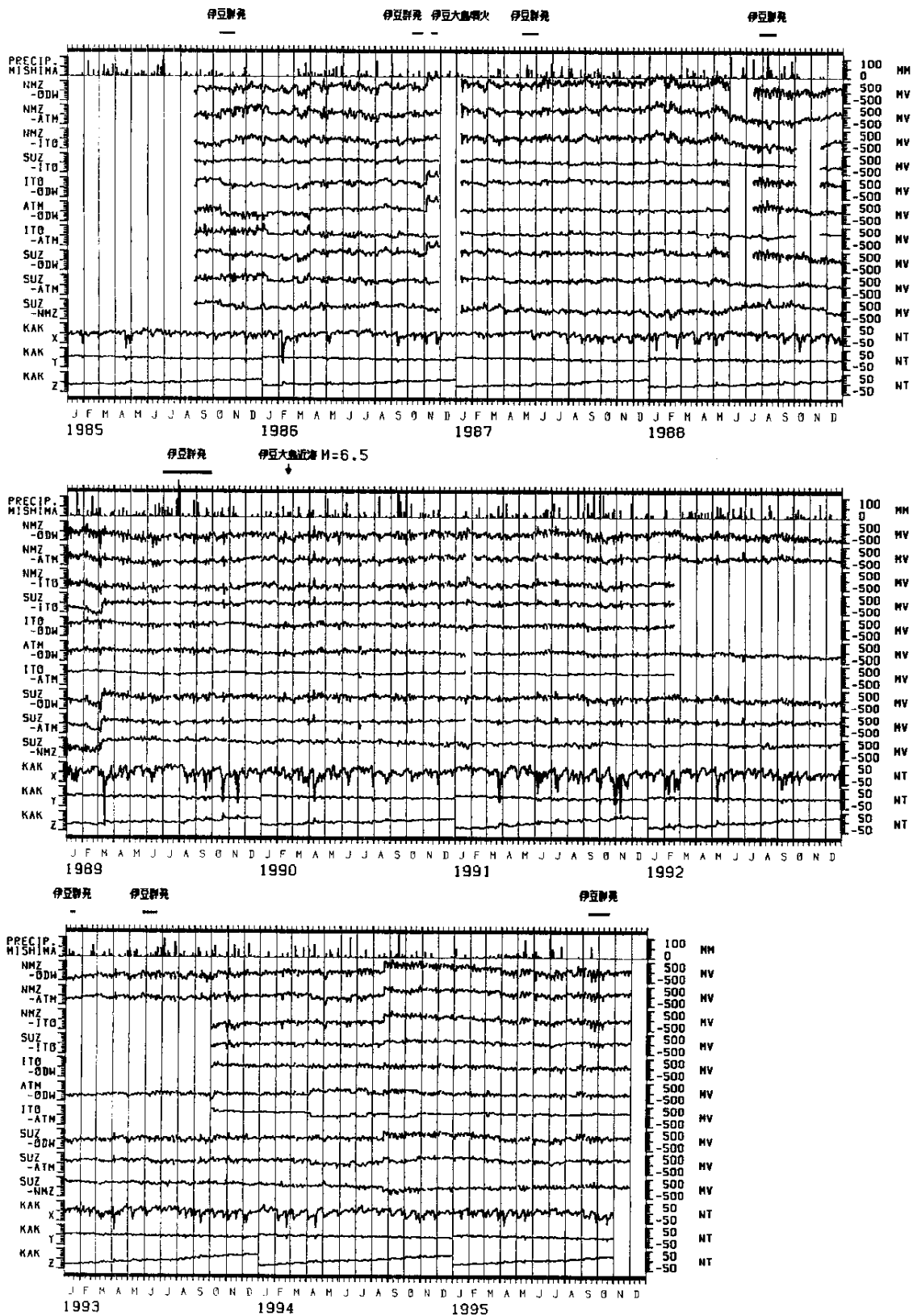
KAK X, Y, Z : 地磁気

Fig. 2 Geoelectric and geomagnetic variations in daily means and daily precipitations from January, 1994 to November, 1995.

NMZ-ODW ~ SUZ-NMZ : Geoelectric variations.

KAK X, Y, Z : Northward, eastward and downward components of geomagnetic variations at Kakioka.

PRECIP. MISHIMA : Daily precipitation at Mishima.



第3図 地電位・地磁気の日平均値の変動と日降水量 (1985年8月~1995年11月)

Fig. 3 Geoelectric and geomagnetic variations in daily means and daily precipitations from August, 1985 to November, 1995.